

ИЗВЕСТИЯ
ТОМСКОГО ОРДЕНА ОКТЯБРЬСКОЙ РЕВОЛЮЦИИ И ОРДЕНА
ТРУДОВОГО КРАСНОГО ЗНАМЕНИ ПОЛИТЕХНИЧЕСКОГО
ИНСТИТУТА им. С. М. КИРОВА

Том 232

1975

РАСЧЕТ ДВИЖЕНИЯ ЭЛЕКТРОНОВ
В ПЕРЕМЕННОМ ЭЛЕКТРИЧЕСКОМ ПОЛЕ

Р. Г. ЗИЯКАЕВ, А. В. ОВЧИННИКОВ

(Представлена семинаром лаборатории высоких энергий НИИ ЯФЭА)

При изучении движения релятивистских электронов в группирователях, в установках для генерирования миллиметровых и субмиллиметровых волн, в однорезонаторных ускорителях и т. д. необходимо решать уравнение

$$\omega \frac{dmv}{dx} = eE_0 \sin x, \quad (1)$$

где ω — угловая частота электрического поля,

$x = \omega t$ — текущая фаза напряжения.

E_0 — напряженность электрического поля,

При ускорении электронов цилиндрическим резонатором, в котором возбуждается волна типа E_{010} , уравнения движения электронов также можно свести к уравнению (1), в случае, когда радиус электронного пучка много меньше радиуса резонатора [1] и уравнение (1) можно записать для этого случая в виде

$$\omega \frac{dmv}{dx} \approx \frac{eU_0}{h} \sin x, \quad (2)$$

где h — высота резонатора;

U_0 — амплитудное значение напряжения вдоль оси резонатора.

Интегрирование уравнения (2) приводит к уравнению

$$\frac{\beta}{\sqrt{1-\beta^2}} = \frac{\beta_0}{\sqrt{1-\beta_0^2}} + \left(\frac{eU_0}{m_0 c^2} \right) \left(\frac{\lambda}{2\pi h} \right) (\cos x_0 - \cos x) = A(x), \quad (3)$$

где $\beta = v/c$ — отношение скорости электрона и скорости света;

$\beta_0 = v_0/c$ — отношение начальной скорости электрона к скорости света;

$E_0 = m_0 c^2$ — энергия покоя электрона;

λ — длина волны в резонаторе;

x_0 — фаза влета электрона в резонатор.

Для определения фазы вылета электрона из резонатора надо решить уравнение:

$$\frac{\omega h}{c} - \int_{x_0}^x \frac{A}{\sqrt{1+A^2}} dx = 0, \quad (4)$$

где неизвестная фаза вылета x является верхним пределом интегрирования.

Для значения x , которое получается при решении уравнения (4), обычно требуется знать величину $\beta = v/c$ и значение кинетической энергии электрона, которые определяются по формулам

$$\beta = \frac{A(x)}{\sqrt{1+A^2(x)}} \quad (5)$$

$$T = m_0 c^2 \left(\frac{1}{\sqrt{1-\beta^2}} - 1 \right), \quad (6)$$

где T — кинетическая энергия электрона в момент вылета из резонатора.

Ниже приводится алгоритм для решения уравнения (4), к которому сводится уравнение (1). Алгоритм записан на входном языке альфатранслятора [2].

Описание алгоритма

Запишем уравнение (4) в виде

$$g - \int_{x_0}^{x_0-g} \frac{A}{\sqrt{1+A^2}} dx - \int_{x_0+g}^x \frac{A}{\sqrt{1+A^2}} dx = 0, \quad (7)$$

где $g = \omega h/c$ — угол пролета расстояния h электронами, движущимися со скоростью света.

Первый интеграл уравнения (7) считается один раз, и к нему добавляются значения интегралов на следующих промежутках длиной sh_1 до тех пор, пока левая часть уравнения (5) не станет меньше 0. Как только это будет достигнуто, последний промежуток интегрирования длиной sh_1 разбивается на две части и вычисляется интеграл на меньшем промежутке. Разбиение последнего промежутка продолжается до тех пор, пока значение x не будет определено с заданной точностью m .

Значение угла вылета x определяется для диапазонов углов влета от x_1 до x_2 с шагом sh . Если время нахождения электрона в поле больше 2π , то счет этого варианта прекращается и начинается счет для нового значения угла влета.

В программе должны быть заданы численные значения следующим величинам:

$$a = \frac{\beta_0}{\sqrt{1-\beta_0^2}} \text{ и } b = \left(\frac{eU}{m_0 c^2} \right) \left(\frac{\lambda}{2\pi h} \right) -$$

коэффициенты в уравнении (3):

x_1, x_2 — нижний и верхний пределы значений углов влета;

$g = \omega h/c$ — угол пролета расстояния h электронами, движущимися со скоростью света;

m — абсолютная точность определения углов вылета.

С перфокарт вводятся численные значения величин a , b , sh , sh_1 , где a и b — коэффициенты уравнения (3);

sh — шаг, с которым задаются значения углов влета;

sh_1 — начальный шаг для поиска углов вылета.

```

НАЧАЛО ЦЕЛЫЙ и; МАССИВ к [1:4];
ВЕЩЕСТВ а, в, xo, x, ш1, с, п, И, г, Л, бета, Т;
ВЕЩЕСТВ ПРОЦЕД А (x);
A:=a+vx (cos (xo) — cos (x));
ВЕЩЕСТВ ПРОЦЕД ф (x);
{веществ р; р:=A (x); ф:=р/sqrt (1+p^2)}
M:  ввод (к); вывод (к); (а, в, ш, ш1):=к[ ];
      ДЛЯ xo:=x1 ШАГ ш ДО x^2 ЦИКЛ
      НАЧАЛО x:=xo+д;
      ИКРОН (xo, x, ·01, ·1, ф, 0, п, И);
      г:=0; с:=ш1;
M1:    Л:=д—И—г;
      ЕСЛИ (Л<0) ∧ (с<м) ТО НА M3;
M2:    ЕСЛИ x—xo>6.3 ТО НА M4;
      ИКРОН (x, x+c, ·01, ·1, ф, о, п, г);
      ЕСЛИ И+г<д ТО
      {И:=И+г; x:=x+c; НА M2}
      с:=c/2; НА M1;
      бета:=ф (x);
      Т:=·51098x(1/Sqrt(1 — бета^2) — 1);
      вывод (xo, x, бета, Т);
M3:    КОНЕЦ; вывод (ИСТИНА); НА M;
КОНЕЦ*

```

Описание процедуры ИКРОН

Чтобы не затруднять чтение программы, данная процедура и ее описание приводятся отдельно от основной программы. В связи с тем, что большая часть времени тратится на вычисление интегралов, были приняты меры для уменьшения времени просчета интегралов. Разработанный алгоритм пригоден для вычисления интегралов вида

$$I = \int_a^b \Phi(x) d(x) \quad (8)$$

и рекомендуется для негладких функций $\Phi (x)$.

На величины a и b не накладывается никаких ограничений, возможны случаи $a>b$, $b=a$, $b>a$. Вычисление интеграла производится с использованием «больших квадратурных формул» [4]

$$I = \sum_{k=0}^{m-1} H_k \sum B_i \Phi(a_{ti} + H_k Y_i) + R, \quad (9)$$

где $H_i = a_{ti+1} - a_{ti}$ — шаг интегрирования;

R — погрешность вычислений.

Узлы и веса основной и уточняющей квадратур брались из работы [3], порядок квадратурных формул был подобран экспериментально и равен четырем.

Оператор обращения к процедуре имеет вид ИКРОН (а, в, м, н, ф, т, п, И),

где а и в — пределы интегрирования;

м — минимально допустимый шаг интегрирования;

н — начальный шаг интегрирования;
 ф — подынтегральное выражение, описанное в программе как вещественная процедура;
 т — требуемая абсолютная погрешность вычисления интеграла;
 п — переменная, которой присваивается значение абсолютной погрешности, полученной в результате вычислений, т. е. фактическая абсолютная погрешность;
 И — значение интеграла.

В данной процедуре уменьшение времени вычислений происходит за счет уточняющих квадратур [3], неравномерного распределения погрешности на промежутке интегрирования и за счет автоматического выбора шага. На каждом промежутке интегрирования подсчитывается текущая требуемая абсолютная погрешность вычислений T_{Tk} и фактическая погрешность вычислений T_{Φ_k} , которая равна модулю разности значений интегралов на этом промежутке, вычисленных по 5 и 9 точкам. Если для двух соседних интегралов Φ_{k+1} и Φ_k $T_{\Phi_k} < T_{Tk}$, то шаг H_k удваивается. Если же $T_{\Phi_k} > T_{Tk}$, то шаг уменьшается вдвое, и интеграл Φ_k , подсчитанный с большей ошибкой, пересчитывается вновь. Уменьшение шага происходит только в том случае, если он не меньше, чем минимально допустимый шаг (т. е. всегда $H > M$), в противном случае вычисления ведутся с полученным минимальным шагом.

```

ПРОЦЕДУРА ИКРОН (а, в, м, н, ф, т, п, И),
ЗНАЧЕНИЕ а, в, м, т,
НАЧАЛО ВЕЩЕСТВ у, тп, с1, с2, с3, ат, вт, тт, тф, Л, г;
ЦЕЛЫЙ к; ЛОГИЧЕСКОЕ Т; МАССИВ У, В, Б [1:9];
Т:=ЛОЖЬ; Л:=н; У[1]:=·01179874;
У[2]:=·069431844; У[3]:=·179856891;
У[4]:=·330009478; У[5]:=·5;
У[6]:=·669990521; У[7]:=·820143108;
У[8]:=·930568155; У[9]:=·988280125;
В[1]:=В[3]:=В[5]:=В[7]:=В[9]:=0;
В[2]:=·173927422; В[4]:=·326072577;
В[6]:=В[4]; В[8]:=В[2];
Б[1]:=Б[9]:=·031488686;
Б[2]:=Б[8]:=·085026802;
Б[3]:=Б[7]:=·133399170;
Б[4]:=Б[6]:=·163474594;
Б[5]:=·173221490;
ЕСЛИ в>а, ТО г:=1 ИНАЧЕ
ЕСЛИ в<а, ТО {г:=а; а:=в; в:=г; г:=-1} ИНАЧЕ
{п:=И:=0; НА М4};
П:=0; с1:=0; вт:=а; тп:=т/(в-а);
М1: ЕСЛИ вт=в, ТО НА М2 ИНАЧЕ ат:=вт;
М3: вт:=ат+Л;
ЕСЛИ вт≥в, ТО {Л:=в-ат; вт:=в};
тт:=тп×Л; с2:=с3:=0;
ДЛЯ к:=1, ..., 9 ЦИКЛ
  НАЧАЛО у:=ф (ат+Л×У [к]);
  с2:=с2+у×В[к]; с3:=с3+у×В[к];
КОНЕЦ;
  с2:=с2×Л; с3:=с3×Л; тф:=abs(с3-с2);
  ЕСЛИ тф>тт, ТО
    НАЧАЛО ЕСЛИ Л/2>М, ТО {Л:=Л/2; НА М3} ИНАЧЕ
      НАЧАЛО тп:=ЕСЛИ т-п-тф>0, ТО
        (ЕСЛИ в-вт>0, ТО (т-п-тф)/(в-вт)

```

```

ИНАЧЕ тп) ИНАЧЕ 0
КОНЕЦ;
КОНЕЦ; п:=п+тф;
ЕСЛИ Т тф<тт, ТО Л:=2×Л;
    Т:=тт — тф>0; с1:=с1+с3; НА М1;
М2: И:=с1×г;
М4:
КОНЕЦ.

```

Результаты вычислений

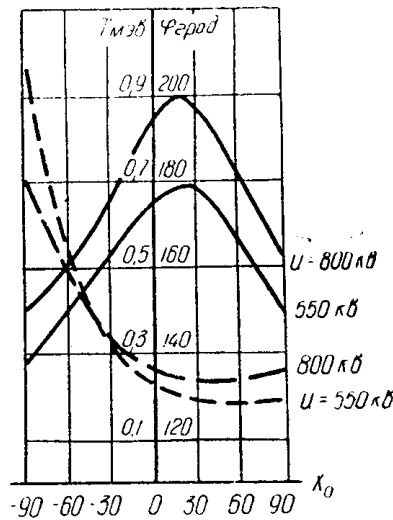
Результаты вычислений по данной программе приведены на рис. 1. Расчет проводился для электронов с начальной кинетической энергией 250 кэв, влетающих в электрическое поле с $\lambda=11$ см и расстоянием между электродами 3, 4 см. Область углов влета x_0 менялась от $-\pi/2$ до $+\pi/2$ с шагом 10° . На рис. 1 приведена зависимость угла пролета $\varphi=x-x_0$ и кинетической энергии Т на выходе из поля от угла влета x_0 для разных значений амплитуды напряжения между электродами U .

Рис. 1. Зависимость кинетической энергии Т (сплошная линия) на выходе ускоряющего промежутка и угла пролета φ от угла влета x_0 для $h=3,4$ см, $\lambda=11$ см, $\beta_0=0,740$ для различных значений напряжения U вдоль оси ускоряющего промежутка.

При напряжении $U=800$ кв разброс по энергиям $\Delta T=0,1T_{\max}$ имеют электроны, влетающие в диапазоне входных углов от -8 до $+53^\circ$. Если ток пушки на энергию 250 кв непрерывный и равен I , то ток на выходе ускоряющей системы для данного ΔT будет равен $0,169 I$.

Для значений напряжения 550, 350, 250 кв значения токов на выходе будут $0,186$; $0,200$; $0,213 I$ соответственно.

В заключение авторы считают своей приятной обязанностью выразить благодарность Чучалину И. П. за помощь в работе.



ЛИТЕРАТУРА

1. Сб. «Миллиметровые и субмиллиметровые волны». Под редакцией Р. Г. Мириманова, М., ИЛ, 1959.
2. Система Альфа. Под редакцией А. П. Ершова. М., Изд-во ВЦ АН СССР, 1965.
3. А. С. Кронрод. Узлы и весы квадратурных формул. М., «Наука», 1964.
4. Я. С. Дымарский, Н. Н. Лозинский [и др]. Справочник программиста. Т. 1, 2. Л., Судпромгиз, 1963, 1964.